

Wave set-up に対する再考察

大阪大学工学部 正員 槙木亨
大阪大学工学部 正員・出口一郎

1 まえがき：碎波による波高減衰、碎波帯内の掃流、浮遊を含めた砂の濃度分布、あるいは底質の輸送流れとしての海浜流を解析するにあたっては、碎波帯内の乱れの特性を十分に把握しておく必要がある。本研究は、すでに發表されている碎波帯内の Wave set-up, set-down の実験結果に基づいて碎波帯内の乱れに関する考察を行なうものである。

2 碎波後の平均水位変動に関する基礎式： x 軸を汀線から直角沖方向に、 z 軸を静水面から鉛直上方にとった座標系で定常状態の平均水位変動量 S_{xx} が生じている場合、 \bar{u} 、Radiation 応力 S_{xx} 及び Reynolds 応力 R_{xx} の間の関係は次式で表わされる。

$$\partial \left(\int_{-\infty}^x R_{xx} dz \right) / \partial x = - (\partial S_{xx} / \partial x + \bar{g}(h+\bar{h}) \partial \bar{h} / \partial x) \quad (1)$$

ここに $R_{xx} = \rho u^2$ (ρ は水の単位体積質量、 u は運動にともなう乱れ) で、浅水近似され微少振幅波理論では波高 H に対しても $S_{xx} = (3/16) \bar{g} H^2$ で与えられる。ここで碎波帯内にすべての乱れが水位変動として現われるとすれば Stream Function Theory あるいは Linear Filter によると (1) 式中の R_{xx} が無視できるようすに水粒子速度を表面波形から推定することはできることであろう。しかし碎波によって流体内にもちこまれた乱れは、たとえば Horizontal roller のように水位変動としては現われず、いかにも波動論によっても決して表現し得ないものである。したがつてたとえ適当な波動論を用いて平均的な波動による水粒子速度が推定されたとしても、やはり R_{xx} は存在すると考えなければならぬ。逆に浅水近似され微少振幅波理論を用いて S_{xx} を推定し、 R_{xx} に対して新しい表現を考えるのも一つの実用的な方法と思われる。

3 平均水位変動から推定される R_{xx} ：以上の考察に基づいて、二次元造波水路の斜面上で生ずる平均水位変動量の測定結果から碎波帯内の乱れ強度の推定を試みる。図 1, 2 は Bowen (1969) 及び沢田 (1975) の実験結果を用い (1) 式から $\partial \left(\int_{-\infty}^x \rho u^2 dz \right) / \partial x$ を計算した例を示してある。ただし S_{xx} は微少振幅波理論から求まる関係式に実測波高を用いて計算し、 $\Delta x = 9\sqrt{3} \text{ cm}$ の間の平均的な勾配としてそれを水の量を与えている。これらの図から一般に微少振幅波理論から求まる S_{xx} を用いた場合、汀線近くでは $|\partial S_{xx} / \partial x| < |\bar{g}g(h+\bar{h}) \partial \bar{h} / \partial x|$ 、碎波帯近くの水深の深い領域では $|\partial S_{xx} / \partial x| > |\bar{g}g(h+\bar{h}) \partial \bar{h} / \partial x|$ となる。

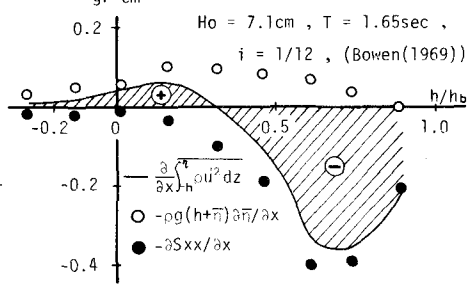


図 - 1

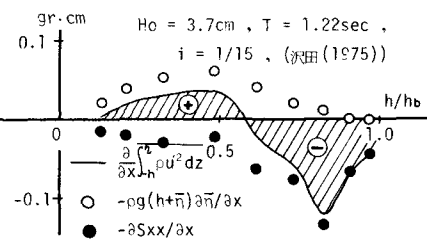


図 - 2

Toru Sawaragi Ichiro Deguchi

りその和は実線で示す変動となる。したがって(1)式があらわされる $\int R_{xx} \neq 0$ である。さらに図中斜線をほどこした部分の面積は碎波点に近い水深の大きい領域においては負となり u^2 が負となるという矛盾が生ずる。これは従来から指摘されていように微少振幅波理論から求まる S_{xx} は真値より大きい値を与えているためであろう。そこでさらに碎波帯内で測定された水位変動に対して Fourier 解析を行はず、た澤田(1975)の実験結果より S_{xxe} が次式があらわされると仮定して(1)式の関係を再検討してみると図3,4のようす結果が得られる。

$$S_{xxe} = \sum (3/16) Sg H_i^2 \quad (2)$$

(2)式において H_i ($i=1, 2, \dots$) は i 倍周波数の成分波高を示し、 S_{xxe} は水面変動として現われたすべての波動に対し線型応答関数を用いて計算される S_{xx} の近似値である。図3,4から明らかのようにこの場合は図中に斜線をほどこした正の部分の面積(+)と負の部分の面積(-)の和は負にならず、また実線であらわされる $\int_a^b Sg u^2 dz / dx$ が汀線と碎波点の間で符号が正から負へと変化するところから $\int_a^b Sg u^2 dz$ も碎波帯内で極大値をとる。このことは従来の観測により指摘されていることと一致し、 $\int_a^b Sg u^2 dz$ の適正な評価が行なわれていいものと思われる。一方 Battjesら(1975)も指摘しているようにこのように碎波帯内の乱れは波動が碎波することによって失はず、たゞエネルギーと関係づけられるであろう。すなはち u' を乱れの代表流速、 C_g ($= \sqrt{g(h+\bar{h})}$) 及び E をそれぞれ波動エネルギーの伝播速度及び波動エネルギー密度とするとエネルギー-逸散率 D は

$$D = \partial(E C_g)/\partial x \propto \int_a^b Sg u^2 \quad (3)$$

となる。いま(3)式において比例定数を1として若干の变形を行なうと

$$\int_a^b Sg u^2 dz \approx Sg u^2 (h+\bar{h}) = Sg \{(1/S) (\partial E C_g / \partial x)\}^{1/3} (h+\bar{h}) \quad (4)$$

という関係が得られる。図3,4には(4)式から求まる $\partial(\int_a^b Sg u^2 dz) / \partial x$ の値も点線で示してあるが(2)式から推定される S_{xxe} の勾配と $Sg(h+\bar{h}) \partial \bar{h} / \partial x$ の和として求まる $\partial(\int_a^b Sg u^2 dz) / \partial x$ (実線)とを比較してみると peak となる位置はずれしが絶対値はほぼ等しい。このことから碎波帯内において線型応答関数を用いて(2)式のようす S_{xxe} を(1)式の S_{xx} の代りに用いた場合の水平方向に積分された Reynolds 応力(実線)はほぼ(4)式で与えられることが明らかになった。なお Battjesら Bore 理論から求めた $D = (1/4) Sg H^3 / (RT)$ と $\partial(E C_g) / \partial x$ の関係についても検討を行なっておりが詳細は講演時に発表する。

参考文献

Battjes et.al.(1975) : Energy loss and Set-up due to Breaking of Random Waves, Proc. 16th ICCE

Bowen(1969) : Rip current 1. Theoretical Investigation, JGR Vol.74, NO.23

沢田(1975) : 周波数特性からみた傾斜水域での碎波後の波の変形に関する一考察, 阪大卒論

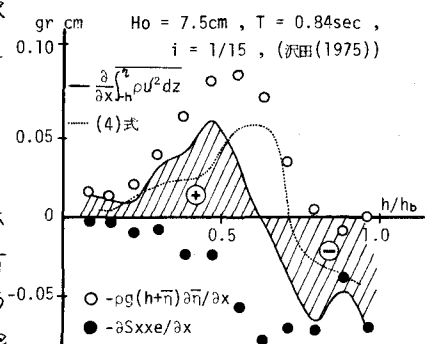


図 3

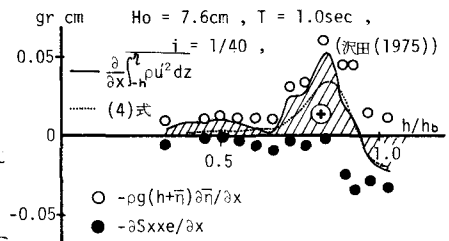


図 4